

清水建設機研究所 ○正会員 小林 晋爾
同 上 正会員 岡田 武二

1. まえがき

プレストレストコンクリート橋（以下 PC橋）の施工にあたっては、クリープによる変形性状を正しく把握し、施工計画段階で適切な“上げ越し量”を決定しておくことが重要である。一般に変形量の算定には、「平均クリープ係数法」と呼ばれる略算法が用いられるが、特殊な条件下での適用については若干の疑問がある。筆者らは過去、実橋での実測データから、プレストレス導入が夏季でしかも導入時材令が早い場合には、初期材令において顕著なクリープ進行度を示す現象を確認している。⁽¹⁾ 本報告は夏季、急速施工の場合の略算法の適用に関する検討を行なうため、モデル試験体によってクリープ進行度の基礎データを取得し、これをもとに変形量算定を行なって、上記の問題点に関して考察したものである。

2. PC橋クリープモデル実験

2.1 実験の概要

試験体はボックス断面のPC橋を対象として実大の約 $\frac{1}{5}$ モデルとした。

コンクリートは普通ポルトランドセメントを使用し、設計基準強度 σ_{CK} = 350 (%)で、PS導入は圧縮強度 300 (%)以上で行なった。

ボックス断面試験体は、有効部材厚 h_{th} 、PS導入時材令 t_0 の2つを変化させ、材令約7ヶ月で除荷し、遅れ弾性ひずみを分離して測定した。

モデル試験体の一覧表を表-1に、また試験体の形状寸法の一例として、A試験体について図-1に示す。

2.2 実測データおよび考察

ボックス試験体のクリープ係数値を、学会推奨値とともに表-2に、又、A2試験体のデータを図-2に示す。

PS導入後、約50日まではすべての試験体で20%程度、推奨値を上回り、約100日ではほぼ一致することがわかる。

材令約7ヶ月で除荷したときの遅れ弾性クリープ成分を、図-3に示すが、学会推奨値によるものとよく一致しており、従来から言われている遅れ弾性成分進行度は、この場合にもあてはまることが確認できた。

一方、フロークリープ成分を、図-4に示すが、材令約50日までは、20%程度学会値を上回ることが明らかとなり、クリープ係数が大きくなっている原因は、主としてフロー成分に関連していることが確認できた。

このことから、基本流動係数 φ_{f_0} を固定して考えるならば、 $\beta_f(t)$ の値を、この材令において20%程度大きく算定しておいた方がよいと思われる。

フロー成分が材令初期において大きくなる原因としては、有効材令 t_f の算定式 $t_f = k_z \cdot \frac{T^{\circ}C + 10^{\circ}C}{30^{\circ}C} \Delta t \cdot t$ の式中、Tが夏季の場合、T = 55 (°C)にも達し、上式の適用範囲外にあるものと考えられる。

	NO.	h_{th} (cm)	t_0 (days)	B	備考
ボックス断面試験体	A-1	60	7	A01	繊維
	A-2	55	5	B01	
面試験体	B-1	40	7	B01	
	B-2	55	5		
面試験体	A-3	60	7	A02	除荷
	A-4	55	5	B02	
	B-3	40	5	B02	再載荷
	B-4	55	5		

表-1 モデル試験体の種類

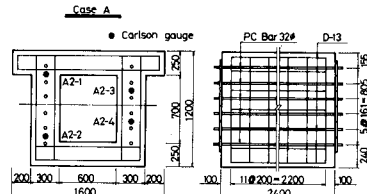


図-1 試験体形状寸法

$t-t_0$ (days)	$h_{th}=60, t_0=5$		$h_{th}=40, t_0=5$		
	JSCE	A2	JSCE	A2	
14	0.60	0.50	1.20	0.70	0.59
28	0.79	0.68	1.17	0.90	0.77
42	0.92	0.75	1.23	1.11	0.90
100	1.02	1.04	0.98	1.24	1.22
102				1.02	

表-2 クリープ係数

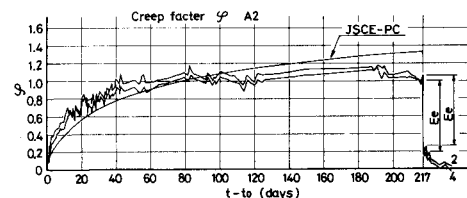


図-2 ボックス試験体クリープ係数

3. クリープ変形量の算定手法

カンチレバー架設によるPC橋の施工時クリープ変形は、主として主桁自重（架設機重量を含む）と、架設ケーブルによるプレストレス力とによるものである。

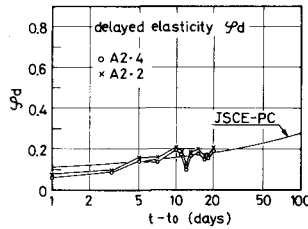


図-3 遅れ弾性成分

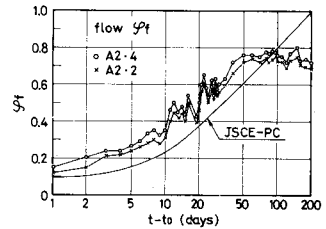


図-4 フロー成分

主桁自重による
クリープたわみは、
厳密式によれば、
⑩節点、⑪節点で
それぞれ、

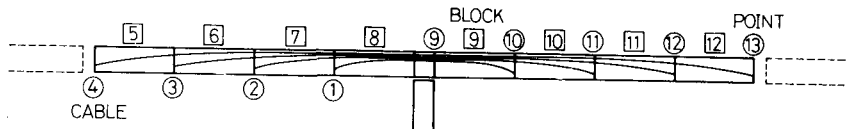


図-5 カンチレバー架設による施工法

$$\begin{aligned} \delta_{10} \varphi \square &= \varphi_{10,10} \cdot \delta_{10, \boxed{9}} + \varphi_{10,11} \cdot \delta_{10, \boxed{9}} \sim \boxed{10} + \varphi_{11,12} \cdot \delta_{10, \boxed{9}} \sim \boxed{11} + \varphi_{12,j} \cdot \delta_{10, \boxed{9}} \sim \boxed{12} \\ &= \varphi_{10,10} \cdot \int_0^a \frac{M_1 \bar{M}_1}{E_0} dx + \varphi_{10,11} \int_0^a \frac{M_2 \bar{M}_1}{E_0} dx + \varphi_{11,12} \int_0^a \frac{M_3 \bar{M}_1}{E_0} dx + \varphi_{12,j} \int_0^a \frac{M_4 \bar{M}_1}{E_0} dx \quad \dots \end{aligned} \quad (1)$$

$$\begin{aligned} \delta_{13} \varphi \square &= \varphi_{12,j} \cdot \delta_{13, \boxed{9}} \sim \boxed{12} \\ &= \varphi_{12,j} \int_0^a \frac{M_4 \bar{M}_1}{E_0} dx + \varphi'_{12,j} \int_a^{2a} \frac{M_4 \bar{M}_1}{E_0} dx + \varphi''_{12,j} \int_a^{3a} \frac{M_4 \bar{M}_1}{E_0} dx + \varphi'''_{12,j} \int_a^{4a} \frac{M_4 \bar{M}_1}{E_0} dx \quad \dots \end{aligned} \quad (2)$$

のように表わされるが、平均クリープ係数法では、

$$\varphi_{9,10} = \varphi_{10,11} = \varphi_{11,12} = \varphi_{12,j} = \bar{\varphi}_1, \quad \varphi_{12,j} = \varphi'_{12,j} = \varphi''_{12,j} = \varphi'''_{12,j} = \bar{\varphi}_2 \quad \text{と仮定し,}$$

$$\varphi_{10} \varphi \square = \bar{\varphi}_1 / E_0 \cdot \left\{ \int_0^a (M_1 \bar{M}_1 + M_2 \bar{M}_1 + M_3 \bar{M}_1 + M_4 \bar{M}_1) dx \right\} \quad \dots \quad (1)'$$

$$\varphi_{13} \varphi \square = \bar{\varphi}_2 / E_0 \cdot \int_0^{4a} M_4 \bar{M}_1 dx \quad \dots \quad (2)'$$

と簡略化して表現される。ここで問題となるのは、厳密法によるものと略算法によるものとの近似性である。

4. クリープ変形量の算定結果および考察

モデル実験で得た基礎データをもとに、夏季、急速施工の場合のクリープ変形量算定結果を表-3に示す。上段には、学会式によるものを示してある。この算定結果より、クリープ変形量は、(1)学会式を用いると、実験値によるものに比べ、30～45%程度大きめに算定する可能性がある。(2)「平均クリープ係数法」の適用については、厳密法に対し、30～60%程度大きく算定する可能性がある。(3)有効部材厚hthが小さいほど、これらの傾向が著るしいなどの点が明らかとなった。

5. まとめ

PC橋の架設時クリープ変形量算定にあたって、夏季、急速施工などの特殊な条件下では、平均クリープ係数法による略算法をそのまま用いることには疑問があり、これを修正して用いるか、又は厳密法によることが望ましいと考えられる。また、このような条件下では、フロー成分に関する経時変化係数 $\beta_f(t)$ を補正して用いることが必要であると考えられる。

J	φ	厳密法 A	平均クリープ法 B
hth=60 to=5	JSCE-PC	1.50φ₀	1.27 D₁ 1.10 A
	実験値 D₁	1.22φ₀	1.69φ₀ 1.39 A
hth=40 to=5	JSCE-PC	10.4φ₀	1.31 D₂ 12.5φ₀ 1.20 A
	実験値 D₂	7.95φ₀	9.92φ₀ 1.25 A
hth=40 to=5	JSCE-PC	1.62φ₀	1.37 D₃ 1.16 A
	実験値 D₃	1.18φ₀	2.03φ₀ 1.72 A
hth=40 to=5	JSCE-PC	11.4φ₀	1.53 D₄ 14.2φ₀ 1.24 A
	実験値 D₄	7.47φ₀	11.2φ₀ 1.55 A

δ_0 ：主桁自重による基準たわみ
算定条件：普通セメント使用
1ブロック 14日施工

表-3 クリープ変形量

- 参考文献 (1) 「プレストレストコンクリート橋のクリープ実測」 第34回土木学会年次講演会 小林
(2) 「コンクリート構造物のクリープと乾燥収縮」 H・リュッシャ 百島訳 鹿島出版会